



## طراحی و مقایسه تجربی الگوریتم جدید تخمین تراز برای بدنه شتاب دار

محمد تقی ثابت<sup>۱</sup>، حمیدرضا محمدی دانیالی<sup>۲</sup>، علیرضا فتحی<sup>۳</sup>، ابراهیم علیزاده<sup>۴</sup>

<sup>۱</sup> دانشجوی دکتری مهندسی مکانیک، گروه جامدات، دانشگاه صنعتی نوشیروانی بابل، [mohammadtaghi.sabet@gmail.com](mailto:mohammadtaghi.sabet@gmail.com)

<sup>۲</sup> استاد، دانشکده مهندسی مکانیک، گروه جامدات، دانشگاه صنعتی نوشیروانی بابل، [mohammadi@nit.ac.ir](mailto:mohammadi@nit.ac.ir)

<sup>۳</sup> دانشیار، دانشکده مهندسی مکانیک، گروه جامدات، دانشگاه صنعتی نوشیروانی بابل، [fathi@nit.ac.ir](mailto:fathi@nit.ac.ir)

<sup>۴</sup> دانشیار، پژوهشکده مالک اشتر شمال، دانشگاه صنعتی مالک اشتر، [elizadeh@mut.ac.ir](mailto:elizadeh@mut.ac.ir)

دریافت: ۱۳۹۶/۱/۸ ویرایش اول: ۱۳۹۶/۴/۱۵ ویرایش دوم: ۱۳۹۷/۸/۱۵ پذیرش: ۱۳۹۶/۱۱/۲۳

**چکیده:** در این مقاله با استفاده از یک مدل سازی جدید، الگوریتم کالمن توسعه یافته ای برای تخمین تراز (زاویه غلت و فراز) و بایاس حسگرهای ژیروسکوپ به کمک حسگرهای اینرسی شامل یک شتاب سنج سه محوره و یک ژیروسکوپ سه محوره ارائه شده است. این الگوریتم برای تخمین دقیق تراز در شرایط دینامیکی و حضور اعنشاشات خارجی توسعه داده شده است. با توجه به این که مسأله تخمین شتاب بدنه خارجی به عنوان اصلی ترین منبع خطای تخمین تراز در شرایط دینامیکی اهمیت زیادی در دقت تخمین تراز دارد، اما در مراجع موجود میزان خطای ناشی از آن بر روی تخمین تراز در شرایط دینامیکی مختلف بررسی نشده است. این مقاله به مسأله تخمین بایاس حسگرهای ژیروسکوپ در دو راستای چرخش غلت و فراز، تخمین تراز دقیق در شرایط دینامیکی مختلف و تخمین شتاب بدنه خارجی می پردازد. عملکرد الگوریتم پیشنهادی برای تخمین تراز، شتاب بدنه خارجی و بایاس حسگرهای ژیروسکوپ با استفاده از آزمون تجربی شبه-استاتیکی و دینامیکی در محدود شتاب مختلف ارزیابی می شود.

**کلمات کلیدی:** فیلتر کالمن توسعه یافته، تخمین تراز، تخمین بایاس ژیروسکوپ، تخمین شتاب بدنه خارجی، حسگر اینرسی.

## Design and experimental comparison of a new attitude estimation algorithm for accelerated rigid body

Mohammad Taghi Sabet, Hamidreza Mohammadi Daniali, Alireza Fathi,  
Ebrahim Alizadeh

**Abstract:** In this paper, using a new modeling, an Extended Kalman Filter (EKF) is presented for estimation of attitude (i.e. roll and pitch angles) and gyroscope sensor bias using a tri-axes acceleration and a tri-axes gyroscope. The algorithm is developed for accurate estimation of attitude in dynamic conditions and existence of external body acceleration. The external body acceleration estimation as the main source of attitude estimation error in dynamic conditions is very important in attitude estimation accuracy, but in the literatures, the error of the external body acceleration on attitude estimation has not been studied in different dynamic conditions. The paper deals to estimation of the gyroscope sensor bias in two rotational axes (roll and pitch), accurate attitude estimation in different dynamic conditions and estimation of external body acceleration. The proposed algorithm application for attitude, external body acceleration and gyroscope sensor bias is evaluated by quasi-static and dynamic experimental tests in high acceleration bound.

**Keywords:** Extended Kalman Filter, Attitude estimation, Gyroscope sensor bias estimation, External body acceleration estimation, Inertial sensor.

در این مقاله به دلیل استفاده از مدل اندازه‌گیری غیرخطی که در مشاهده‌پذیری فیلتر موثر بوده، دقت تخمین زوایای کاهش خواهد یافت. لی و پارک [۱۶]، یک روش فیلتر کالمن مبتنی بر مختصه‌های کواترنيون برای تخمین زوایای چرخش بدن ارائه کردند. آنها برای تخمین زوایای اویلر، حسگرهای اینرسی و مغناطیس را به کار گرفتند. همچنین، از یک روش تطبیقی برای کاهش اثر اغتشاشات خارجی شامل شتاب بدنه خارجی و اغتشاشات مغناطیسی برای تخمین پایدار و دقیقتراز و سمت بهره بردن. سباتینی نیز [۱۷] از یک روش مشابه این، برای تخمین زوایای تراز و سمت استفاده کرده است. رهیمند و هو [۱۸]، مساله تخمین تراز برای یک بدنه صلب شتاب دار را با استفاده از شتاب سنجها و ژیروسکوپ‌ها بررسی کردند. آنها یک الگوریتم برای تلفیق داده حسگرهای شتاب سنج و ژیروسکوپ برای تخمین بدون دریفت تراز ارائه نمودند. این الگوریتم با استفاده از دو مدل اندازه‌گیری تراز، شامل مدل شتاب بالا و شتاب پایین، تراز را با دقت تخمین می‌زنند. مزیت اصلی این روش مدل خطی اندازه‌گیر است، اما چنانچه این الگوریتم در مدت زمان زیادی به مدل شتاب بالا سوچیج کند، خطای تخمین تراز زیاد می‌شود. چو و همکارانش [۱۹]، یک روش جدید با دو الگوریتم تلفیقی مبتنی بر شرط بهینه برای تخمین زوایای چرخش با استفاده از حسگرهای ارزان قیمت مغناطیس سنج، شتاب سنج و ژیروسکوپ‌های میکرو مکانیکی ارائه کردند. این روش که با نام فیلتر بهینه دو مرحله‌ای نام‌گذاری شده از یک فیلتر بهینه و یک الگوریتم اندازه‌گیری سریع تشکیل شده است. این فیلتر بهینه با استفاده از یک قانون فازی برای تنظیم ماتریس کوواریانس، اندازه‌گیری حسگر شتاب سنج و مغناطیس سنج طراحی شده است. سپس، با استفاده از الگوریتم کواترنيون بهینه و یک تخمین زن سریع زوایای چرخش تخمین زده می‌شوند. تخمین زوایا با استفاده از این الگوریتم تطبیقی بهینه در حضور اغتشاشات مغناطیسی و شتاب‌های خارجی نیز با دقت قابل قبول صورت می‌گیرد. عملکرد این الگوریتم در حضور آزمون‌های تجربی با یک رونده زیرسطحی ارزیابی شده است.

روش دوم، روش مبتنی بر مدل سازی شتاب بدنه خارجی است. در این روش با توجه به شناخت شرایط حرکتی سیستمی که شتاب سنج بر آن نصب می‌شود و در نظر گرفتن مدلی برای شتاب بدنه خارجی می‌توان دو نوع شتاب جاذبه و شتاب بدنه خارجی را از هم تفکیک نمود و شتاب بدنه خارجی را تخمین زد. مراجع موجود شتاب بدنه خارجی را به عنوان بایاسی برای شتاب سنج مدل نموده و تخمین زدند. روتبرگ و همکارانش [۲۰]، با تلفیق داده حسگرهای ژیروسکوپ، شتاب سنج و مغناطیس سنج یک فیلتر کالمن مقاوم و تطبیقی برای تخمین زوایای چرخش بدنه انسان طراحی کردند. در این فیلتر، خطای اغتشاشات مغناطیسی سنج یک مدل کالمن مبتنی بر مختصه‌های کواترنيون که در استفاده شده است. در این مدل خط، برای مدل سازی دریفت ژیروسکوپ یک مدل مارکوف مرتبه اول و برای مدل اغتشاشات

## ۱- مقدمه

تخمین زوایای چرخش یکی از پارامترهای مهم در بسیاری از سیستم‌های خودگردان است [۵-۱]. امروزه به علت پیشرفت در سیستم‌های مکانیکی و الکترونیکی، بخصوص سیستم‌های میکروالکترونیکی<sup>۱</sup>، فن آوری ساخت حسگرهای اینرسی ارزان قیمت با سایز کوچک توسعه یافته است [۶]. تمرکز بیشتر کارهای قبلی بر روی تخمین زوایای چرخش سه بعدی با استفاده از ترکیب حسگرهای اینرسی و مغناطیسی بوده است [۹-۷]. به این ترکیب حسگرهای در اصطلاح سیستم مرجع تعیین تراز و سمت<sup>۲</sup> گفته می‌شود. در این سیستم، شتاب سنج با اندازه‌گیری میدان جاذبه گرانشی زمین تراز را تولید می‌کند و چون شتاب سنج قادر به آشکارسازی چرخش حول محور عمودی نیست نیاز به استفاده از مغناطیس سنج برای اندازه‌گیری سمت است. هر چند سیستم مرجع تعیین تراز و سمت در کاربری‌های مختلف شامل: تعیین زوایای چرخش بدنه انسان [۱۰-۱۲]، زوایای چرخش خودرو [۱۳] و زوایای چرخش رونده هوایی بدون سرنوشت [۱۴] استفاده شده، اما تاثیر شتاب بدنه خارجی به عنوان اصلی ترین منبع خطای تخمین تراز در این کارها بررسی نشده است. معمولاً داده شتاب سنج شامل ترکیبی از شتاب جاذبی و شتاب بدنه خارجی است. در واقع شتاب بدنه خارجی، مقدار شتاب جسم صلبی است که حسگر شتاب سنج روى آن نصب شده است. با وجود شتاب بدنه خارجی، معمولاً با تلفیق داده‌های شتاب سنج و ژیروسکوپ با استفاده از یک فیلتر تخمین زن اثر اغتشاشات خارجی کاهش می‌یابد.

در مراجع موجود، روش‌های کاهش اثر شتاب بدنه خارجی و تخمین دقیق تراز به دو روش عدمه تقسیم می‌شوند:

روش اول، روش سوئیچینگ مبتنی بر آستانه حد<sup>۳</sup> بوده که در این روش با استفاده از یک معیار حدی برای شتاب و سوچیج اندازه ماتریس کوواریانس مدل اندازه‌گیری و مدل دینامیکی، خطای ناشی از شتاب بدنه خارجی کاهش می‌یابد. در موضع تشخیص شتاب بدنه خارجی با استفاده از معیار حدی شتاب و کاهش وزن تخمین تراز از طریق شتاب سنج و افزایش وزن تخمین توسط ژیروسکوپ (به اصطلاح تطبیقی<sup>۴</sup> کردن الگوریتم تخمین تراز) خطای تخمین تراز کاهش می‌یابد. سو و همکارانش [۱۵]، یک سیستم تخمین تراز تطبیقی برای جرمان خطای ناشی از شتاب بدنه خارجی طراحی کردند. آنها با استفاده از یک فیلتر کالمن توسعه یافته تطبیقی دو مرحله‌ای تراز را در شرایط حضور شتاب غیر جاذبی (شتاب بدنه خارجی) تخمین زدند. این روش با استفاده از داده‌های تجربی و در حضور شتاب بدنه خارجی ارزیابی شده است.

<sup>۱</sup> Micro Electro Mechanical System (MEMS)

<sup>۲</sup> Attitude and Heading Reference System (AHRS)

<sup>۳</sup> Threshold-Based

<sup>۴</sup> Adaptive

کار گرفته می شود. مشکل اساسی زمانی اتفاق می افتد که بدنه جسم صلب شتاب دار شود. در این زمان حسگر تعیین تراز اندازه نادرستی ارائه کرده که در این مقاله با استفاده از تخمین شتاب بدنه خارجی روشی برای بهبود تخمین تراز معرفی می شود.

## ۲-۱- تعریف مساله

ماتریس دوران  $(\Theta) = \begin{pmatrix} \Theta = [\phi, \theta, \psi]^T \\ C_b^n \end{pmatrix}$  توسط سه چرخش حول محورهای  $z, y$  و  $x$  تعریف می شود. که  $\phi, \theta$  و  $\psi$  به ترتیب زاویای چرخش غلت، فراز و سمت هستند. با استفاده از این ماتریس دوران هر بردار تعریف شده در دستگاه بدنه قابل انتقال به دستگاه لخت (معمولًا دستگاه شمال-شرق-پایین<sup>۳</sup>) می باشد. بنابراین، بردار  $1 \times 3$  اختیاری  $v_{b/n}^b$  در دستگاه NED به صورت رابطه (۱) به بردار  $v_{b/n}^b$  در دستگاه NED قابل انتقال است [۲۲].

$$v_{b/n}^n = C_b^n (\Theta) v_{b/n}^b \quad (1)$$

که بالا نویس های  $n$  و  $b$  به ترتیب معرف دستگاه NED و بدنه و زیرنویس  $b/n$  معرف بردار تعریف شده از جسم صلب نسبت به دستگاه NED هستند. ماتریس دوران  $C_b^n (\Theta)$  از سه بردار یکه ستونی به صورت رابطه (۲) برای تبدیل از دستگاه مختصات بدنه به NED تشکیل شده است.

$$C_b^n (\Theta) = \begin{bmatrix} X^b & Y^b & Z^b \end{bmatrix}^T \quad (2)$$

این ماتریس دوران با بیان مرسم زوایای اویلر و چرخش به ترتیب حول محورهای  $z, y$  و  $x$  به صورت رابطه (۳) قابل بیان است.

$$C_b^n (\Theta) = \begin{bmatrix} C \theta C \psi & -S \psi C \phi + C \psi S \theta S \phi & S \psi S \phi + C \psi S \theta C \phi \\ C \theta S \psi & C \psi C \phi + S \psi S \theta S \phi & -C \psi S \phi + S \psi S \theta C \phi \\ -S \theta & C \theta S \phi & C \theta C \phi \end{bmatrix} \quad (3)$$

که  $S(\cdot) = \sin(\cdot)$ ،  $C(\cdot) = \cos(\cdot)$ . سمت  $S(\psi)$ ، فراز  $(\theta)$  و غلت  $(\phi)$  به ترتیب چرخش حول محورهای  $z, y$  و  $x$  هستند. با توجه به رابطه (۳)، در سطر آخر ماتریس دوران  $C_b^n (\Theta)$  (یعنی بردار  $Z^b$ ) تنها زوایای چرخش فراز  $(\theta)$  و غلت  $(\phi)$  وجود دارند. بنابراین، این زوایا به صورت رابطه (۴) قابل محاسبه هستند [۲۳].

$$\begin{aligned} \phi &= \tan^{-1}(Z_2^b / Z_3^b) \\ \theta &= \sin^{-1}(-Z_1^b) \end{aligned} \quad (4)$$

$Z_2^b = \cos \theta \sin \phi$  ،  $Z_1^b = -\sin \theta$  که  $Z_3^b = \cos \theta \cos \phi$ . بردار  $g^n$  را به عنوان بردار شتاب جاذبه در دستگاه NED تعریف خواهیم کرد، این بردار  $1 \times 3$  به صورت  $g^n = [0 \ 0 \ g]^T$  قابل بیان است ( $g = 9.81$  m/s<sup>2</sup> شتاب جاذبه). با

مغناطیسی یک فیلتر مرتبه اول پایین گذرا استفاده شده است. عملکرد این فیلتر تحت آزمون های تجربی شبه استاتیک و آزمون های دینامیکی و در نزدیکی مواد فرومغناطیسی آزمون شده است. یان و همکارانش [۲۰]، یک الگوریتم ساده مبتنی بر کواترنیون برای تخمین زوایای چرخش از روی میدان شتاب جاذبه و مغناطیس زمین ارائه کردند. این الگوریتم قادر به اندازه گیری زوایای چرخش در شرایط استاتیکی و یا حرکت آهسته یک جسم صلب است. دقیق و عملکرد این الگوریتم با استفاده از آزمون تجربی ارزیابی شده است. همچنین، روشی برای ممانعت از ایجاد تکینی در تخمین زوایای معرفی شده که به الگوریتم اجازه می دهد تا تمامی زوایای چرخش را اندازه بگیرد. برای جدا کردن اثر شتاب بدنه خارجی از شتاب جاذبه از یک فیلتر پایین گذرا بر روی داده های شتاب سنج استفاده شده است. لوئینگ و ولتینک [۲۱]، یک الگوریتم تخمین زوایای چرخش، برای محاسبه زوایه چرخش بدن طراحی کردند. در این الگوریتم، مقدار دریافت ژیروسکوپ ها، خطای شتاب سنج ها و بایاس حسگر مغناطیسی تخمین زده شده است.

با توجه به اینکه مساله تخمین شتاب بدنه خارجی اهمیت زیادی در دقت تخمین تراز دارد، اما در مراجع مختلف میزان خطای ناشی از آن بر روی تخمین تراز در شرایط دینامیکی مختلف بررسی نشده است. در این مقاله با استفاده از یک مدل سازی جدید برای مدل دینامیکی و مدل اندازه گیری، فیلتر کالمن توسعه یافته ای برای تخمین تراز و بایاس حسگرهای ژیروسکوپ ارائه شده است. همچنین، با توجه به در نظر گرفتن یک مدل مرتبه اول برای شتاب بدنه خارجی و تنظیم پارامترهای آن برای شرایط دینامیکی، شتاب بدنه خارجی تخمین زده شده است. دقیق ترین تخمین تراز بلکه برای تخمین شتاب بدنه خارجی در شرایط دینامیکی با محدوده شتاب بدنه خارجی زیاد ارزیابی شده است.

در ادامه، در بخش دوم روش حل و فرموله کردن مساله تخمین تراز و همچنین الگوریتم تخمین تراز پیشنهادی به طور مفصل توصیف می شود. در بخش سوم نتایج تجربی و همچنین نحوه ارزیابی و صحبت سنجی الگوریتم پیشنهادی ارائه می شود. سپس در بخش چهارم نتیجه گیری نهایی از مقاله حاضر بیان می شود.

## ۲- روش حل و فرموله کردن مساله

در طراحی الگوریتم تعیین زوایای چرخش یک جسم صلب از سه روش عمده شامل زوایای اویلر، ماتریس کووسینوس هادی<sup>۱</sup> (ماتریس دوران) و کواترنیون<sup>۲</sup> به عنوان مدل دینامیکی در فیلتر تخمین زن استفاده می شود. در این مقاله از روش ماتریس کسینوس هادی به علت فرمولاسیون و حل خطی، به عنوان مدل دینامیکی در فیلتر تخمین زن استفاده شده است. همچنین، یک شتاب سنج به عنوان حسگر تعیین تراز به

<sup>۱</sup> Direction Cosine Matrix

<sup>۲</sup> Quaternion

همان طور که بیان شد،  $\left[ \omega_{k-1} \times \right] \times \left[ \omega_k \right]$  ماتریس پادمتقارن بردار سرعت زاویه‌ای است. داده اندازه‌گیری شده توسط ژیروسکوپ علاوه بر نرخ سرعت زاویه‌ای شامل نویز و خطای بایاس نیز است. بنابراین مدل‌سازی این حسگر به صورت رابطه (۹) انجام می‌گیرد.

$$\mathbf{y}_{G,k} = \omega_k + \mathbf{b}_{\omega,k} + \mathbf{n}_{G,k} \quad (9)$$

که  $\mathbf{y}_{G,k}$  بردار خروجی حسگر ژیروسکوپ،  $\omega_k$  سرعت زاویه‌ای،  $\mathbf{b}_{\omega,k}$  بردار بایاس حسگر ژیروسکوپ و  $\mathbf{n}_{G,k}$  نویز اندازه‌گیری بوده که غیروابسته<sup>۴</sup> و سفید گوسی<sup>۵</sup> فرض می‌شود. چون در واقع سرعت زاویه‌ای  $\omega_k$  در دسترس نیست، در رابطه (۸) از خروجی ژیروسکوپ  $\mathbf{y}_{G,k}$  استفاده خواهیم کرد. بنابراین، رابطه (۸) به صورت رابطه (۱۰) قابل استخراج است.

$$\begin{aligned} \mathbf{Z}_k^b &= (\mathbf{I} - \Delta t [\mathbf{y}_{G,k-1} \times]) \mathbf{Z}_{k-1}^b + \\ &+ \Delta t [\mathbf{b}_{\omega,k-1} \times] \mathbf{Z}_{k-1}^b + \Delta t [-\mathbf{Z}_{k-1}^b \times] \mathbf{n}_{G,k-1} \end{aligned} \quad (10)$$

چگونگی استخراج رابطه (۱۰) از (۸) در پیوست ارائه شده است. در این مقاله علاوه بر بردار  $\mathbf{Z}^b$  برای تخمین تراز، بایاس ژیروسکوپ نیز تخمین زده می‌شود. بنابراین بردار متغیرهای حالت به صورت  $\mathbf{x}_k = [\mathbf{Z}_k^b \quad \mathbf{b}_{\omega,k}]^T$  تعریف می‌شود. به علت دینامیک تغییرات اندک، بایاس حسگر ژیروسکوپ به صورت رابطه (۱۱) یک فرایند مارکوف مرتبه اول<sup>۶</sup> در نظر گرفته می‌شود [۷].

$$\mathbf{b}_{\omega,k} = \mathbf{b}_{\omega,k-1} + \mathbf{n}_{\mathbf{b}_{\omega},k-1} \quad (11)$$

که در این رابطه  $\mathbf{n}_{\mathbf{b}_{\omega},k-1}$  نویز سفید گوسی غیروابسته است. با ترکیب رابطه (۱۰) و (۱۱) مدل دینامیکی به صورت رابطه (۱۲) قابل استخراج است.

$$\begin{aligned} \begin{bmatrix} \mathbf{Z}_k^b \\ \mathbf{b}_{\omega,k} \end{bmatrix} &= \\ &\left\{ \begin{array}{l} (\mathbf{I} - \Delta t [\mathbf{y}_{G,k-1} \times]) \mathbf{Z}_{k-1}^b + \\ + \Delta t [\mathbf{b}_{\omega,k-1} \times] \mathbf{Z}_{k-1}^b + \Delta t [-\mathbf{Z}_{k-1}^b \times] \mathbf{n}_{G,k-1} \\ \mathbf{b}_{\omega,k-1} + \mathbf{n}_{\mathbf{b}_{\omega},k-1} \end{array} \right\} \\ &= \mathbf{f}(\mathbf{Z}_{k-1}^b, \mathbf{b}_{\omega,k-1}, \mathbf{y}_{G,k-1}, \mathbf{n}_{G,k-1}, \mathbf{n}_{\mathbf{b}_{\omega},k-1}) \end{aligned} \quad (12)$$

چون بایاس غلت و فراز تخمین زده می‌شوند، رابطه (۱۲) به علت وجود جمله  $\Delta t [\mathbf{b}_{\omega,k-1} \times] \mathbf{Z}_{k-1}^b$  غیرخطی است. بنابراین، فیلتر تخمین زن مورد استفاده باید یک فیلتر غیرخطی باشد. در این مقاله با استفاده از یک تقریب تیلور مرتبه اول مدل دینامیکی غیرخطی رابطه (۱۲) به صورت رابطه خطی (۶) (الف) تقریب زده می‌شود. ماتریس گذر

انتقال این بردار از دستگاه مختصات بدنه به دستگاه مختصات بدنه به صورت  $\mathbf{g}^b = \mathbf{C}_b^n (\Theta)^T \mathbf{g}^n$  شتاب جاذبه در دستگاه بدنه قابل محاسبه است.  $\mathbf{g}^b$  در واقع بخشی از شتابی بوده که حسگر شتاب سنج اندازه‌گیری می‌کند. با ساده سازی عبارت  $\mathbf{g}^b = \mathbf{C}_b^n (\Theta)^T \mathbf{g}^n$  رابطه (۵) به صورت زیر قابل بیان است [۲۳].

$$\mathbf{g}^b = g \times \mathbf{Z}^b \quad (5)$$

از آنجایی که بردار  $\mathbf{Z}^b$  برای محاسبه زوایای تراز کافی است، رابطه (۵) نشان می‌دهد که بردار یکه شتاب جاذبه در دستگاه بدنه برای اندازه‌گیری تراز مناسب است. از این رو از بردار شتاب جاذبه به عنوان اندازه‌گیر در فیلتر تخمین زن می‌توان استفاده نمود. در این مقاله با در نظر گرفتن سه مولفه بردار  $\mathbf{Z}^b$  به عنوان متغیر حالت و تخمین آنها زوایای غلت و فراز تخمین زده می‌شوند.

## ۲-۲- الگوریتم پیشنهادی

برای طراحی فیلتر تخمین زن نیاز به استفاده از دو مدل‌سازی شامل مدل‌سازی دینامیکی<sup>۱</sup> و مدل‌سازی اندازه‌گیری<sup>۲</sup> بوده که به صورت رابطه (۶) قابل ارائه هستند [۲۴].

$$\mathbf{x}_k = \Phi_{k-1} \mathbf{x}_{k-1} + \mathbf{W}_{k-1} \quad (6\text{الف})$$

$$\mathbf{z}_k = \mathbf{H} \mathbf{x}_k + \mathbf{V}_k \quad (6\text{ب})$$

که  $\mathbf{x}_k$  بردار متغیرهای حالت در گام زمانی  $k$  ماتریس  $\Phi_{k-1}$  گذر حالت،  $\mathbf{z}_k$  بردار اندازه‌گیری،  $\mathbf{H}$  ماتریس خروجی (اندازه‌گیری) و  $\mathbf{W}_{k-1}$  و  $\mathbf{V}_k$  به ترتیب نویز سفید گوسی مدل دینامیکی و اندازه‌گیری می‌باشند. در این مقاله متغیرهای حالت شامل بردار  $\mathbf{Z}^b$  و بایاس حسگر ژیروسکوپ هستند.

در این مقاله برای مدل‌سازی دینامیکی از روش ماتریس کسینوس هادی و انگرال گیری تقریب مرتبه اول از حسگر ژیروسکوپ استفاده شده است [۲۵, ۲۳].

$$\mathbf{C}_b^n (\Theta_k) = \mathbf{C}_b^n (\Theta_{k-1}) (\mathbf{I}_3 + \Delta t [\omega_{k-1} \times]) \quad (7)$$

که  $\Delta t$  گام زمانی و  $[\omega_{k-1} \times]$  ماتریس پادمتقارن<sup>۳</sup> از مولفه‌های  $(\omega_{k-1} = [\omega_{x,k-1}, \omega_{y,k-1}, \omega_{z,k-1}]^T)$  بردار سرعت‌های زاویه‌ای هستند. همان‌طور که بیان شد برای تخمین زوایای تراز تنها سه مولفه بردار  $\mathbf{Z}^b$  کافی است. بنابراین فرم خاصی از رابطه (۷) به صورت رابطه (۸) قابل استخراج است.

$$\mathbf{Z}_k^b = (\mathbf{I}_3 + \Delta t [\omega_{k-1} \times])^T \mathbf{Z}_{k-1}^b \quad (8)$$

<sup>۱</sup> Uncorrelated

<sup>۲</sup> Zero-Mean White Gaussian

<sup>۳</sup> First Order Markov Process

<sup>۱</sup> Process Model

<sup>۲</sup> Measurement Model

<sup>۳</sup> Skew-Symmetric Matrix

$$\mathbf{a}_k^b = \kappa_a \mathbf{a}_{k-1}^b + \mathbf{\epsilon}_k \quad (17)$$

که  $0 \leq \kappa_a < 1$  یک عدد ثابت بدون بعد بوده که بیانگر فرکانس قطع<sup>۳</sup> است.  $\mathbf{\epsilon}_k$  خطای متغیر با زمان مدل شتاب بدنه خارجی می‌باشد. حال برای ایجاد مدل اندازه‌گیری، مدل شتاب بدنه خارجی رابطه (۱۷) را در رابطه (۱۶) قرار می‌دهیم. برای این کار نیاز به تعریف خطای شتاب پیشین به صورت رابطه (۱۸) است.

$${}^{-}\mathbf{a}_{\epsilon,k}^b = {}^{-}\mathbf{a}_k^b - \mathbf{a}_k^b \quad (18)$$

که علامت منفی بیانگر تخمین پیشینی شده<sup>۴</sup> و  $\mathbf{a}_k^b$  شتاب پیشینی بوده که با  $\kappa_a {}^{+}\mathbf{a}_{k-1}^b$  برابر است. علامت مثبت بیانگر تخمین بروزرسانی شده<sup>۵</sup> می‌باشد. بنابراین با قرار دادن رابطه (۵)، (۱۷) و (۱۸) در رابطه (۱۶) مدل اندازه‌گیری به صورت رابطه (۱۹) ارائه می‌شود.

$$\mathbf{y}_{A,k} - \kappa_a {}^{+}\mathbf{a}_{k-1}^b = g\mathbf{Z}_k^b - {}^{-}\mathbf{a}_{\epsilon,k}^b + \mathbf{n}_{A,k} \quad (19)$$

سمت چپ رابطه (۱۹) در واقع تفاضل شتاب بدنه خارجی و شتاب اندازه‌گیری شده توسط شتاب سنج است. از رابطه (۱۹) بردار اندازه‌گیری  $\mathbf{V}_k$ ، ماتریس خروجی  $\mathbf{H}$  و نویز اندازه‌گیری  $\mathbf{Z}_k$  به صورت روابط زیر قابل استخراج هستند.

$$\mathbf{Z}_k = \mathbf{y}_{A,k} - \kappa_a {}^{+}\mathbf{a}_{k-1}^b \quad (20)$$

$$\mathbf{H} = [g\mathbf{I}_3 \quad \mathbf{0}_{3 \times 3}] \quad (21)$$

$$\mathbf{V}_k = -{}^{-}\mathbf{a}_{\epsilon,k}^b + \mathbf{n}_{A,k} \quad (22)$$

ماتریس کوواریانس نویز اندازه‌گیری  $\mathbf{R}_k$  به صورت زیر قابل تعریف است.

$$\mathbf{R}_k = \mathbf{E}[\mathbf{V}_k \mathbf{V}_k^T] \quad (23)$$

فرض می‌کنیم  $\mathbf{a}_{\epsilon,k}^b$  نسبت به  $\mathbf{n}_{A,k}$  غیر وابسته باشد، بنابراین ماتریس کوواریانس  $\mathbf{R}_k$  به صورت رابطه (۲۴) قابل استخراج است.

$$\mathbf{R}_k = \Sigma_{\epsilon,accel} + \Sigma_A \quad (24)$$

و  $\Sigma_A$  و  $\Sigma_{\epsilon,accel}$  به ترتیب ماتریس کوواریانس نویز اندازه‌گیری شتاب سنج و ماتریس کوواریانس خطای مدل شتاب بدنه خارجی هستند. که  $\Sigma_A$  به صورت  $\Sigma_A = \mathbf{E}[(\mathbf{n}_{A,k})(\mathbf{n}_{A,k})^T]$  و  $\Sigma_{\epsilon,accel}$  به صورت  $\Sigma_{\epsilon,accel} = \mathbf{E}[(-\mathbf{a}_{\epsilon,k}^b)(-\mathbf{a}_{\epsilon,k}^b)^T]$  قابل بیان است. حال با استفاده از رابطه (۱۸) و فرض عدم همبستگی<sup>۶</sup> و  $\mathbf{a}_k^b$  داریم

حالت  $\Phi_{k-1}$  با استفاده از ژاکوبین گیری از رابطه (۱۲) و نویز مدل دینامیکی  $\mathbf{W}_{k-1}$  به صورت زیر قابل استخراج است.

$$\begin{aligned} \Phi_{k-1} &= \frac{\partial \mathbf{f}}{\partial \mathbf{x}} = \\ &= \begin{bmatrix} (\mathbf{I}_3 - \Delta t [\mathbf{y}_{G,k-1} \times]) + & \Delta t [-\mathbf{Z}_{k-1}^b \times] \\ + \Delta t [\mathbf{b}_{\omega,k-1} \times] & \mathbf{I}_3 \end{bmatrix} \\ &\quad \mathbf{W}_{k-1} = \begin{bmatrix} \Delta t [-\mathbf{Z}_{k-1}^b \times] \mathbf{n}_{G,k-1} \\ \mathbf{n}_{b_{\omega},k-1} \end{bmatrix} \end{aligned} \quad (13)$$

با تقریب مرتبه اول، مدل دینامیکی غیرخطی به یک مدل خطی تقریب زده خواهد شد. با این تقریب می‌توان از فیلتر کالمن توسعه یافته برای تخمین متغیرهای حالت استفاده نمود. ماتریس کوواریانس مدل دینامیکی به صورت رابطه (۱۴) تعریف می‌شود.

$$\mathbf{Q}_{k-1} = \mathbf{E}[\mathbf{W}_{k-1} \mathbf{W}_{k-1}^T] \quad (14)$$

که  $\mathbf{E}$  عملگر امید ریاضی<sup>۷</sup> است. با استفاده از رابطه (۱۳) به صورت رابطه (۱۵) قابل استخراج است.

$$\mathbf{Q}_{k-1} = \begin{bmatrix} -\Delta t^2 [\mathbf{Z}_{k-1}^b \times] \Sigma_G [\mathbf{Z}_{k-1}^b \times] & \mathbf{0}_{3 \times 3} \\ \mathbf{0}_{3 \times 3} & \Sigma_{b_{\omega}} \end{bmatrix} \quad (15)$$

$\sigma_G$  و  $\sigma_{b_{\omega}}$  به ترتیب واریانس نویز ژیروسکوپ و بایاس ژیروسکوپ هستند که در این مقاله فرض شده در هر سه محور برابرند.  $\Sigma_G$  و  $\Sigma_{b_{\omega}}$  ماتریس کوواریانس نویز ژیروسکوپ و بایاس ژیروسکوپ بوده که به ترتیب با  $\sigma_G^2 \mathbf{I}_3$  و  $\sigma_{b_{\omega}}^2 \mathbf{I}_3$  برابر هستند. برای اندازه‌گیری تراز تنها اندازه‌گیر مورد نیاز شتاب سنج است. خروجی شتاب سنج ترکیبی از شتاب جاذبی، شتاب بدنه خارجی (غیر جاذبی) و مجموعه خطاهای شامل نویز و بایاس است. بنابراین خروجی شتاب سنج به صورت رابطه (۱۶) قابل مدل‌سازی است.

$$\mathbf{y}_{A,k} = \mathbf{g}_k^b + \mathbf{a}_k^b + \mathbf{n}_{A,k} \quad (16)$$

که  $\mathbf{g}_k^b$  بردار شتاب جاذب در دستگاه بدنه،  $\mathbf{y}_{A,k}$  خروجی شتاب سنج،  $\mathbf{a}_k^b$  شتاب بدنه خارجی و  $\mathbf{n}_{A,k}$  نویز سفید گوسی برای شتاب سنج هستند. حسگر شتاب سنج به دلیل شرایط محیطی مخصوصاً تغیرات دمایی دچار خطای بایاس می‌شود. خطای بایاس شتاب سنج با گذشت زمان و گرم شدن<sup>۸</sup> حسگر پایدار شده و مقدار آن در مقابل جمله‌های شتاب جاذب و شتاب بدنه خارجی مقدار ناچیزی است. بنابراین در الگوریتم پیشنهادی تخمین بایاس شتاب سنج بررسی نمی‌شود. شتاب بدنه خارجی  $\mathbf{a}_k^b$  موجود در رابطه (۱۶)، به صورت یک فرایند نویز سفید فیلتر پایین گذر مرتبه اول مدل می‌شود<sup>۹</sup>.

<sup>۱</sup> Expectation Operator  
<sup>۲</sup> Warm-up Time

<sup>۳</sup> Cutoff Frequency

<sup>۴</sup> Predicted Estimation

<sup>۵</sup> Updated Estimation

<sup>۶</sup> Uncorrelated

$$\mathbf{K}_k = \mathbf{P}_k^- \mathbf{H}^T \left( \mathbf{H} \mathbf{P}_k^- \mathbf{H}^T + \mathbf{R}_k \right)^{-1} \quad (28)$$

۴) بهروزرسانی متغیر حالت

$$\mathbf{x}_k^+ = \mathbf{x}_k^- + \mathbf{K}_k (\mathbf{z}_k - \mathbf{H} \mathbf{x}_k^-) \quad (29)$$

۵) بهروزرسانی ماتریس کوواریانس خطا

$$\mathbf{P}_k^+ = (\mathbf{I}_6 - \mathbf{K}_k \mathbf{H}) \mathbf{P}_k^- \quad (30)$$

چون گام (۴) شرط بردار واحد بودن  ${}^+ \mathbf{Z}_k^b$  را ارضاء نمی کند، بنابراین نیاز است که این بردار نرمالیزه شود، یعنی  ${}^+ \mathbf{Z}_k^b / \| {}^+ \mathbf{Z}_k^b \|$ . با تخمین  ${}^+ \mathbf{Z}_k^b$  شتاب بدنه خارجی به صورت رابطه (۳۱) محاسبه می شود.

$${}^+ \mathbf{a}_k^b = \mathbf{y}_{A,k} - g {}^+ \mathbf{Z}_k^b \quad (31)$$

### ۳- نتایج تجربی

#### ۱- تجهیزات آزمون و روش ارزیابی الگوریتم

برای ارزیابی الگوریتم پیشنهادی، از یک حسگر اینرسی/مغناطیسی مدل 3DM-GX3-25 که شامل یک شتاب سنج سه محوره و یک ژیروسکوپ سه محوره بوده، استفاده می شود. این حسگر که خود به عنوان یک سیستم مرجع تعیین تراز و سمت شناخته می شود، با استفاده از حسگر اینرسی میکروالکترومکانیکی و حسگر مغناطیسی سه محوره علاوه بر خروجی حسگرهای بیان شده، با توجه به الگوریتم تعیین تراز و سمت تعییه شده در آن زوایای اوبلر را نیز در شرایط دینامیکی و استاتیکی ارائه می کند. نرخ داده برداری این حسگر از ۱ تا ۱۰۰۰ هرتز قابل تنظیم است. ورودی های اندازه گیری برای الگوریتم پیشنهادی نرخ داده ۱۰۰ هرتز را تأمین می کنند. برای ارزیابی الگوریتم پیشنهادی، چون در شرایط استاتیکی و شبه استاتیکی خروجی اندازه گیری شده توسط حسگر 25-3DM-GX3 در مدل اندازه گیری 0XC8 (مد اندازه گیری شتاب، نرخ زاویه ای و ماتریس دوران) دقت قابل قبولی داشته و زوایای غلت و فراز) اندازه گیری شده توسط حسگر با دقت  $\pm 0.5^\circ$  درجه قابل ارائه است، می توان در این شرایط خروجی حسگر 25-3DM-GX3-25 را به عنوان مرجع در نظر گرفت. اما در شرایط دینامیکی با شتاب زیاد این حسگر در تخمین تراز دقت قابل قبولی ندارد. در این مقاله با استفاده از حرکت های دینامیکی با شتاب زیاد بر روی یک میز با زاویه غلت و فراز ثابت و مرجع قرار دادن این زوایای ثابت، الگوریتم پیشنهادی ارزیابی می شود. همچنین، دقت تخمین تراز توسط این روش در مقایسه با خروجی حسگر 25-3DM-GX3 در شرایط دینامیکی مختلف بررسی می شود. با استفاده از مراجع تراز بیان شده بردار تراز مرجع به صورت  $\mathbf{Z}_{ref,k}^b$  بدست می آید. سپس با استفاده از این بردار مرجع تراز، شتاب بدنه خارجی مرجع  $\mathbf{a}_{ref}^b$  به صورت  $\mathbf{y}_{A,k} - g \mathbf{Z}_{ref,k}^b$  محاسبه

$$\mathbf{E} \left[ \left( \mathbf{a}_k^b \right) \left( {}^- \mathbf{a}_k^b \right)^T \right] = 0$$

$\mathbf{a}_k^b = \kappa_a \mathbf{a}_{k-1}^b + \mathbf{\varepsilon}_k$  و اینکه یک فرایند نویز سفید به صورت ترتیبی

ناهمبسته بوده، امید ریاضی شتاب بدنه خارجی صفر می شود

$$\mathbf{E} \left[ \left( \mathbf{a}_k^b \right) \left( \mathbf{a}_k^b \right)^T \right] = \mathbf{E} \left[ \left( \mathbf{a}_k^b \right) \left( \kappa_a \mathbf{a}_{k-1}^b \right)^T \right] + \mathbf{E} \left[ \left( \mathbf{a}_k^b \right) \left( \mathbf{\varepsilon}_k \right)^T \right] = 0$$

بنابراین طبق رابطه (۲۵) ساده سازی می شود.

$$\begin{aligned} \Sigma_{e,accel} &= \mathbf{E} \left[ \left( {}^- \mathbf{a}_{\epsilon,k}^b \right) \left( {}^- \mathbf{a}_{\epsilon,k}^b \right)^T \right] = \\ &= \mathbf{E} \left[ \left( {}^- \mathbf{a}_k^b - \mathbf{a}_k^b \right) \left( {}^- \mathbf{a}_k^b - \mathbf{a}_k^b \right)^T \right] = \\ &= \mathbf{E} \left[ \left( {}^- \mathbf{a}_k^b \right) \left( {}^- \mathbf{a}_k^b \right)^T \right] = \\ &= \mathbf{E} \left[ \left( \kappa_a {}^+ \mathbf{a}_{k-1}^b \right) \left( \kappa_a {}^+ \mathbf{a}_{k-1}^b \right)^T \right] \end{aligned} \quad (25)$$

چون ماتریس کوواریانس  $\Sigma_{e,accel}$  متغیر با زمان بوده و به صورت

تحلیلی قابل حل نیست، فرض می شود این ماتریس تنها جمله های قطری

داشته و مربع نرم بردار شتاب بدنه خارجی بر روی قطر اصلی این

ماتریس توزیع می شود  $\Sigma_{e,accel} = \left( \kappa_a^2 \| {}^+ \mathbf{a}_{k-1}^b \|^2 \mathbf{I}_3 \right) / 3$ . در مقایسه

با حالت استاتیکی که مقدار شتاب بدنه خارجی برابر صفر است، یعنی

ماتریس  $\Sigma_{e,accel} = g \mathbf{Z}_{A,k}^b + \mathbf{n}_{A,k}$  با افزایش

ماتریس کوواریانس اندازه گیری  $\mathbf{R}_k$  در جبران اثر شتاب بدنه خارجی

$\kappa_a {}^+ \mathbf{a}_{k-1}^b$  نقش مهمی ایفا می کند. همچنین  $\sigma_A^2$  با  $\sigma_A^2 \mathbf{I}_3$  برابر است

که  $\sigma_A^2$  واریانس نویز شتاب سنج است.

با توجه به مدل دینامیکی و اندازه گیری ارائه شده در روابط (۱۲) و

(۱۹) فیلتر تخمین زن پیشنهادی که فیلتر کالمون توسعه یافته بوده در دو گام

پیش بینی<sup>۱</sup> و بهروزرسانی<sup>۲</sup> ارائه می شود [۲۴، ۲۶-۲۸]. در این مقاله به

عملت غیرخطی بودن مدل دینامیکی (یعنی روابط (۱۲)، از فیلتر کالمون

توسعه یافته استفاده می شود.

گام پیش بینی که شامل دو مرحله است، به صورت روابط (۲۶) و

(۲۷) ارائه می شود.

۱) پیش بینی متغیر حالت

$$\mathbf{x}_k^- = \mathbf{x}_{k-1}^+ + \int_{t_{k-1}}^{t_k} \mathbf{f} \left( \mathbf{Z}_{k-1}^b, \mathbf{b}_{0,k-1}, \mathbf{y}_{G,k-1}, \dots, \mathbf{n}_{G,k-1}, \mathbf{n}_{b_0,k-1} \right) dt \quad (26)$$

۲) پیش بینی ماتریس کوواریانس خطا

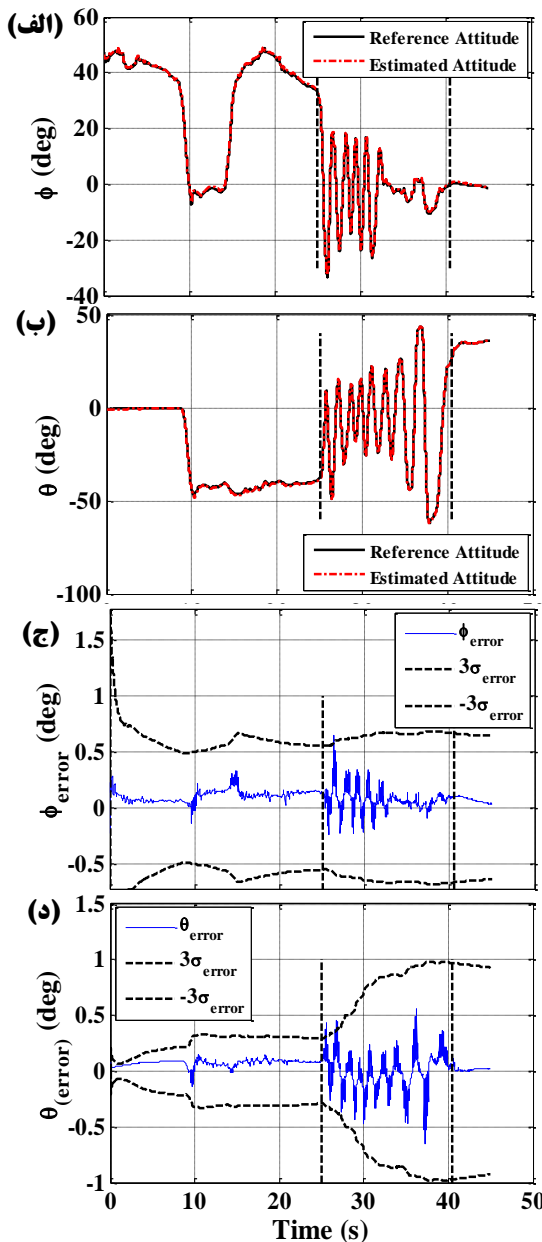
$$\mathbf{P}_k^- \approx \mathbf{\Phi}_{k-1} \mathbf{P}_{k-1}^+ \mathbf{\Phi}_{k-1}^T + \mathbf{Q}_{k-1} \quad (27)$$

گام بهروزرسانی که شامل سه مرحله است، در روابط (۲۸) تا (۳۰) ارائه می شود.

۳) محاسبه بهره فیلتر کالمون

<sup>۱</sup> Time Update  
<sup>۲</sup> Measurement Update

دارای میانگین شتاب بدنه خارجی مرجع  $\| \mathbf{a}_{ref}^b \|$  کم حدود  $0.4^{\circ}$  متر بر مجدوله ثانیه برای تغییرات آرام زوایا و حداکثر شتاب خارجی حدود  $3^{\circ}$  متر بر مجدوله ثانیه برای شرایط نوسانات شدید زوایا است.



شکل (۳): نتایج آزمون الف، (الف) تخمین زاویه غلت (ب) تخمین زاویه فراز (ج) خطای تخمین غلت (د) خطای تخمین فراز، فاصله زمانی بین دو خط چین در هر دو شکل محدوده زمانی نوسان شدید تراز است.

در شکل (۳) زوایا و خطای زوایای تراز تخمین زده شده در آزمون شبه-استاتیک نشان داده شده است. همان طور که بیان شد، در این آزمون خروجی زوایای غلت و فراز تخمین زده شده با خروجی سیگنال زوایای تراز اندازه گیری شده توسط حسگر 3DM-GX3-25 (به عنوان مرجع تراز در آزمون شبه-استاتیک) مقایسه شده است.

آزمون ب (متناوب با شکل (۴)) که برای شرایط دینامیکی تعریف شده، شامل حرکت‌های شتابدار خطی با محدوده شتاب بدنه خارجی

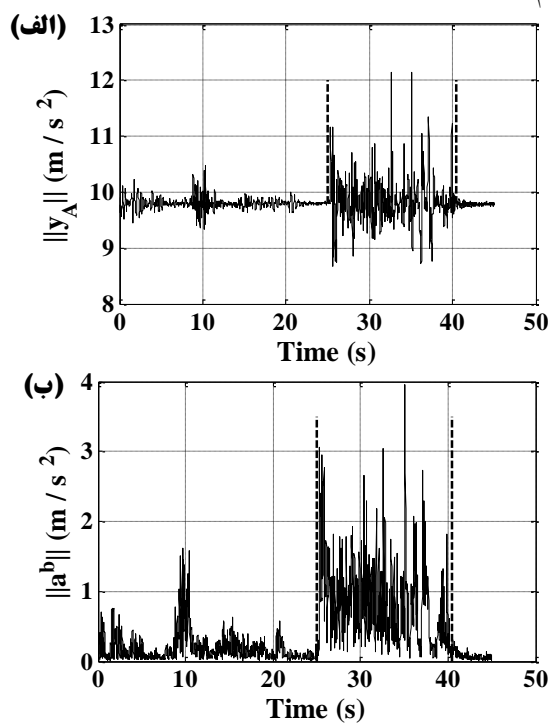
می‌شود. در شکل (۱) مجموعه‌ای که آزمون تجربی روی آن انجام شده نشان داده شده است.



شکل (۱): مجموعه آزمون تجربی.

### ۳-۲- شرایط آزمون و بررسی عملکرد الگوریتم

برای ارزیابی الگوریتم پیشنهادی از دو مجموعه آزمون تجربی که یکی برای شرایط شبیه استاتیکی و دیگری برای شرایط دینامیکی با شتاب‌های بدنه خارجی مختلف تعریف شده، استفاده شده است. هر دو آزمون تجربی با استفاده از چرخش حسگر با حرکت‌های تصادفی دست انجام شده‌اند.



شکل (۲): نتایج آزمون الف، (الف) نرم شتاب اندازه گیری شده توسط حسگر شتاب سنج، (ب) نرم شتاب بدنه خارجی، فاصله زمانی بین دو خط چین در هر دو شکل محدوده زمانی نوسان شدید تراز است.

آزمون الف (متناوب با شکل (۲)) که برای شرایط شبیه استاتیکی تعریف شده، شامل حرکت‌های چرخشی بدون هیچ حرکت انتقالی و برای وضعیت تغییرات زوایای غلت و فراز به صورت آرام (ثانیه صفر تا ۲۵) و نوسانی سریع (ثانیه ۲۵ تا ۴۰/۵) صورت پذیرفته است. این آزمون

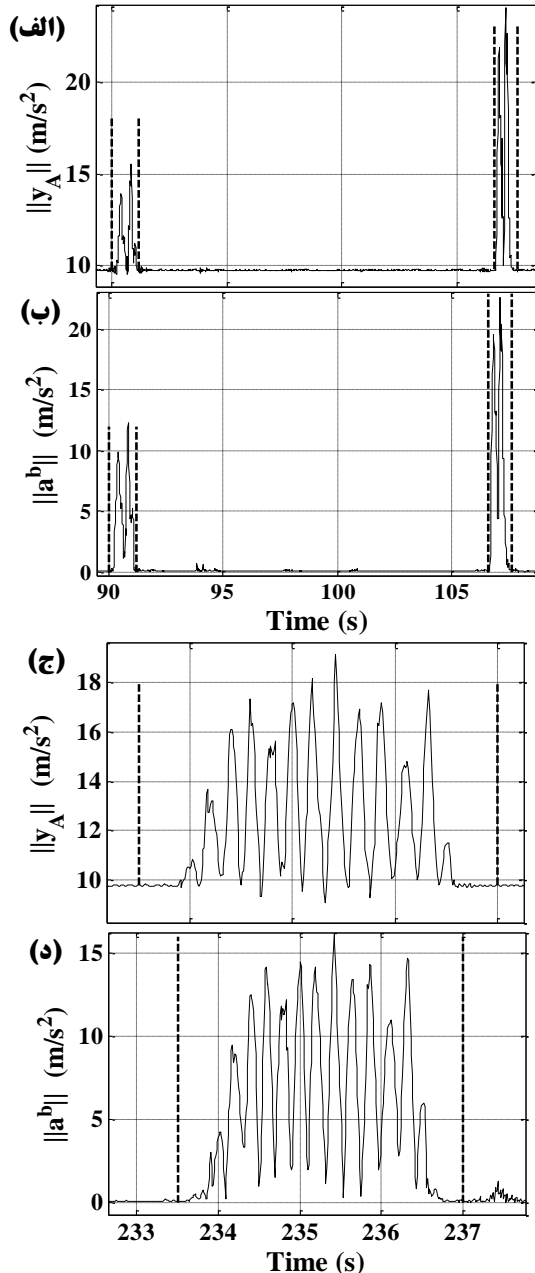
موجود در مدل شتاب بدنه خارجی  $\kappa_a$  می باشند. برای  $\sigma_A^2$ ،  $\sigma_G^2$  و  $\sigma_{b_a}^2$  به ترتیب مقادیر  $10^{-4}$ ،  $10^{-4}$  و  $10^{-8}$  در نظر گرفته شده که این مقادیر با استفاده از آزمون های استاتیکی از حسگر بدست آمده اند. همچنین، برای  $\kappa_a$  مقدار  $1/10$  در نظر گرفته شده که این مقدار با استفاده از نتایج آزمون های تجربی و سعی و خطای محدوده ای از مقادیر  $\kappa_a$  بدست آمده است. نتایج سعی و خطای مقادیر  $\kappa_a$  برای آزمون های الف و ب در جدول (۱) ارائه شده است.

جدول (۱) میانگین کمینه مریعات خطای تخمین تراز (درجه) و شتاب بدنه خارجی (متر بر مجنوز ثانیه) برای مقادیر مختلف  $\kappa_a$ .

آزمون الف				آزمون ب			
شتاب خارجی	فراز	غلت	شتاب خارجی	فراز	غلت	شتاب خارجی	$\kappa_a$
۱/۲	۸/۴	۹/۵	۰/۹۳	۳/۴۳	۶/۶۵	۱/۰	
۰/۷۲	۴/۵	۳/۹	۰/۶۳	۲/۳۷	۴/۶۴	۰/۵	
۰/۵۸	۲/۳	۲/۱	۰/۳۴	۱/۲۶	۲/۶۸	۰/۳	
۰/۶۲	۱/۷۲	۱/۳	۰/۰۶۳	۰/۶۳	۰/۶۱	۰/۱	
۰/۵۳	۲/۷	۲/۳	۰/۰۶۱	۰/۳۹	۰/۳۸	۰/۰۱	
۰/۶۱	۴/۵۳	۳/۱	۰/۰۷۱	۰/۴۴	۰/۴۲	۰/۰۰۱	

همان طور که در جدول (۱) مشاهده می شود، در آزمون الف با کاهش مقدار  $\kappa_a$  میزان خطای تخمین تراز و شتاب خارجی کاهش می یابد. زیرا در این آزمون که برای شرایط شبه استاتیکی بوده هر چه میزان  $\kappa_a$  کوچکتر شده و به سمت صفر میل کند، مقدار  $\Sigma_{e,accel}$  کوچکتر شده، بنابراین  $\mathbf{R}_k$  طبق رابطه (۲۴) با  $\Sigma_A$  برابر می شود. همچنین  $Z_k$  طبق رابطه (۲۰) با  $y_{A,k}$  برابر خواهد شد. بنابراین چنانچه در الگوریتم پیشنهادی به جای  $Z_k$  و  $\mathbf{R}_k$  به ترتیب  $\Sigma_A$  و قرار دهیم، در واقع شتاب خارجی را صفر در نظر گرفته و الگوریتم تخمین برای حالت استاتیکی مناسب تر خواهد بود. اما همان طور که در جدول (۱) مشاهده می شود، در آزمون الف دقت تخمین برای حالتی که  $\kappa_a$  برابر با  $0/001$  است از حالت  $0/001$  مناسب تر است. این اتفاق به خاطر اندک شتاب خارجی موجود در آزمون الف در لحظه تغیرات شدید تراز (مطابق شکل (۳)) بوده، که اگر مقدار  $\kappa_a$  از یک حدی کمتر شود دقت تخمین اندک شتاب خارجی کم شده و دقت تخمین تراز کاهش می یابد. در آزمون ب به دلیل میزان شتاب خارجی زیاد دقت تخمین تراز و شتاب خارجی با کاهش  $\kappa_a$  تا مقدار  $1/0$  افزایش می یابد، اما با کاهش بیشتر آن دقت تخمین کاهش یافته زیرا با کاهش بیشتر این پارامتر شتاب خارجی به دقت تخمین زده نخواهد شد و تحت تأثیر آن تخمین تراز نیز دچار خطای بیشتر می شود. بنابراین با توجه به نتایج دو آزمون مقدار بهینه برای  $\kappa_a$  حدود  $1/0$  خواهد بود. با توجه به مقادیر واریانس ها و مقدار  $\kappa_a$  بهینه اختیار شده برای الگوریتم پیشنهادی، تخمین تراز و شتاب بدنه خارجی در سه راستای  $x$ ،  $y$  و  $z$  در آزمون ب برای دو بازه زمانی که

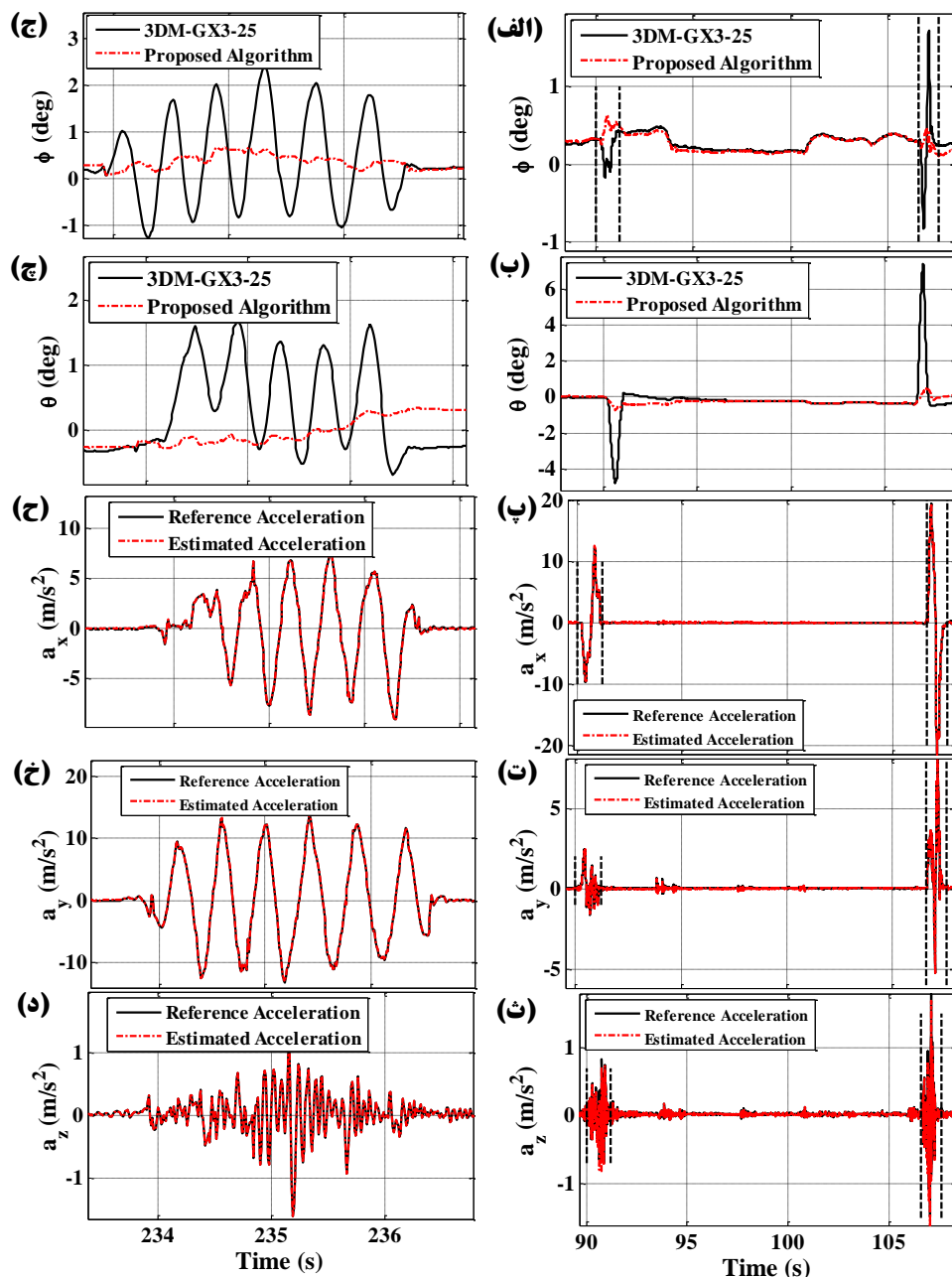
مرجع  $\|\mathbf{a}_{ref}^b\|$  بالا حدود ۱۲ تا ۲۳ متر بر مجلدور ثانیه و همچنین حرکت زیگزاگی شتاب دار با محدوده شتاب بدنه خارجی مرجع ۱۶ تا ۲  $\|\mathbf{a}_{ref}^b\|$  متر بر مجنوز ثانیه است. در شکل (۴) یک نمونه از شتاب ناشی از حرکت خطی و زیگزاگی ارائه شده است.



شکل (۴) نتایج آزمون ب، (الف) نرم شتاب اندازه گیری شده توسط حسگر شتاب سنج در حرکت خطی، (ب) نرم شتاب بدنه خارجی در حرکت خطی، (ج) نرم شتاب اندازه گیری شده توسط حسگر شتاب سنج در حرکت زیگزاگی، (د) نرم شتاب بدنه خارجی در حرکت زیگزاگی.

در هر یک از دو آزمون برای تخمین تراز با استفاده از الگوریتم پیشنهادی (استخراج شده در بخش ۲) نیاز به تنظیم چهار پارامتر است. این چهار پارامتر شامل: واریانس نویز ژیروسکوپ  $\sigma_G^2$ ، واریانس نویز شتاب سنج  $\sigma_A^2$ ، واریانس بایاس ژیروسکوپ  $\sigma_b^2$  و ضریب ثابت

خطای تخمین تراز در الگوریتم پیشنهاد شده در این مقاله (متناسب با جدول (۲)) در مقایسه با تراز اندازه گیری شده توسط حسگر 3DM-GX3-25 بسیار اندک است. مطابق رابطه (۴) میزان خطای تخمین زاویه فراز به خطای  $Z_1^b$  یا در واقع طبق رابطه (۵) به شتاب بدنه خارجی در راستای محور  $x$  وابسته است. همچنین، میزان خطای تخمین زاویه غلت به خطای  $Z_2^b$  و  $Z_3^b$  یا در واقع به شتاب بدنه خارجی در راستای محور  $y$  و  $z$  وابسته است. اما چون آزمون بر روی یک سطح مسطح انجام شده و تغییرات شتاب در راستای محور  $z$  اندک بوده خطای زاویه غلت در جدول (۲) متناسب با تغییرات شتاب در راستای محور  $y$  ارائه شده است.



شکل (۵) نتایج آزمون ب، (الف) تا (ث) تخمین تراز و شتاب بدنه خارجی در سه راستای  $x$ ،  $y$  و  $z$  در حرکت شتابدار خطی، (ج) تا (د) تخمین تراز و شتاب بدنه خارجی در سه راستای  $x$ ،  $y$  و  $z$  در حرکت شتابدار زیگزاگ.

بیشترین شتاب خارجی در حرکت خطی و زیگزاگی را داریم، به صورت شکل (۵) ارائه می شود.

در شکل (۵) علاوه بر نتایج تخمین تراز برای حرکت شتابدار خطی در (الف) و (ب) و حرکت شتابدار زیگزاگ در (ج) و (ج) خروجی تراز اندازه گیری شده توسط حسگر 3DM-GX3-25 نیز ارائه شده است. همانطور که بیان شد، آزمون بر روی یک میز با سطح صاف و بدون تغییرات زاویه غلت و فراز انجام شده است. اما با اعمال حرکت شتابدار خطی و زیگزاگی خروجی حسگر 3DM-GX3-25 ۳ چار خطای می شود و میزان این خطای بسته به میزان شتاب بدنه خارجی متفاوت است. میزان

با توجه به نتایج تخمین بایاس در آزمون ب (شکل (۶)) مشاهده می شود که تخمین بایاس به مقدار درست خود همگرا شده و این بینگر عملکرد درست تخمین بایاس در الگوریتم تخمین پیشنهادی است. باید توجه داشت که چون در الگوریتم پیشنهادی، تنها اندازه گیر مورد استفاده برای تعیین زوایای تراز و بایاس ژیروسکوپ حسگرهای شتاب سنج بوده و هر چه میزان شتاب خارجی کمتر باشد دقت محاسبه زوایای تراز توسط شتاب سنجها بهتر است، بنابراین برای تخمین بایاس ژیروسکوپ ها هر چه میزان شتاب وسیله کمتر باشد، بایاس ژیروسکوپ با دقت بهتری تخمین زده می شود.

#### ۴- نتیجه گیری

در این مقاله یک روش تخمین تراز با مدل سازی جدید و استفاده از فیلتر کالمن توسعه یافته مطرح شده است. این الگوریتم پیشنهادی با استفاده از دو مجموعه آزمون تجربی هم در شرایط شبه استاتیکی و هم در شرایط دینامیکی با شتاب مختلف برای تخمین تراز، شتاب بدنه خارجی و بایاس حسگر ژیروسکوپ ارزیابی شده است. به علت تخمین برخط بردار شتاب بدنه خارجی این الگوریتم دقت مناسبی در تخمین تراز در شرایط حرکت شتابدار دارد. دقت الگوریتم پیشنهادی در تخمین تراز در مقایسه با تراز اندازه گیری شده توسط حسگر 3DM-GX3-25 در حرکت شتابدار توانایی تخمین دقیق این الگوریتم را نشان می دهد. دقت تخمین زاویه غلت در الگوریتم پیشنهادی با شتاب خارجی حدود ۱/۳ برابر شتاب گرانش در محور y، حدود ۰/۵ درجه بوده که در مقایسه با دقت ۴ درجه حسگر 3DM-GX3-25 بسیار بهتر است. دقت تخمین زاویه فراز در الگوریتم پیشنهادی برای شتاب خارجی حدود ۲/۳ برابر شتاب گرانش در محور x، کمتر از ۰/۷ درجه است که در مقایسه با دقت ۷ درجه حسگر 3DM-GX3-25 عملکرد مناسب الگوریتم پیشنهادی را نشان می دهد. همچنین، به علت سادگی تنظیم پارامترها، حجم محاسبات پایین و توانایی تخمین پیوسته تراز، شتاب بدنه خارجی و بایاس حسگر ژیروسکوپ (در دو راستای محور x و y) الگوریتم پیشنهادی از لحاظ پایداری، عملی بودن و پیاده سازی مناسب است.

#### ۵- پیوست

$$\left(\mathbf{I}_3 + \Delta t [\omega_{k-1} \times]\right)^T = \left(\mathbf{I}_3 + \Delta t [\omega_{k-1} \times]^T\right)$$

$$\text{و } \Delta t [\omega_{k-1} \times]^T = -\Delta t [\omega_{k-1} \times]$$

قابل بازنویسی است.

$$\mathbf{Z}_k^b = (\mathbf{I}_3 - \Delta t [\omega_{k-1} \times]) \mathbf{Z}_{k-1}^b \quad (۳۲)$$

بر طبق رابطه (۹)، اگر به جای  $\omega_{k-1}$  عبارت  $\mathbf{y}_{G,k-1} - \mathbf{b}_{\omega,k-1} - \mathbf{n}_{G,k-1}$  جایگذاری شود و با استفاده از

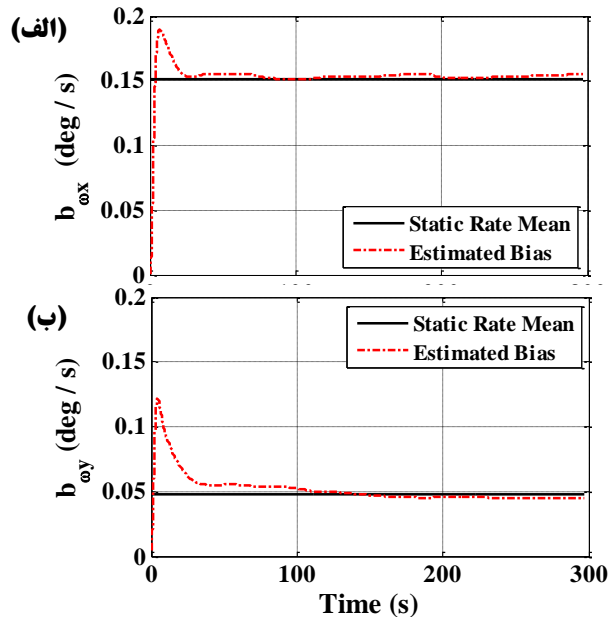
$$[\omega_{k-1} \times] = [\mathbf{y}_{G,k-1} \times] - [\mathbf{b}_{\omega,k-1} \times] - [\mathbf{n}_{G,k-1} \times]$$

به صورت رابطه (۳۲) قابل بیان است.

در این مقاله علاوه بر تخمین تراز و تخمین شتاب بدنه خارجی، بایاس حسگرهای ژیروسکوپ نیز تخمین زده خواهد شد. با توجه به اینکه تنها اندازه گیر مورد استفاده در الگوریتم پیشنهادی شتاب سنج بوده و همان طور که بیان شد، شتاب سنج چرخش حول محور عمودی را حس نکرده و برای تخمین سمت نیاز به یک اندازه گیر مجزا است. بنابراین، برای تخمین بایاس ژیروسکوپ حول محور عمودی نیاز به یک اندازه گیر مجزا بوده و تخمین ارائه شده در این الگوریتم برای بایاس ژیروسکوپ حول محور Z درست نیست. اما بایاس ژیروسکوپ حول محورهای x و y به درستی تخمین زده می شود. میزان بایاس تخمین زده شده با میانگین نرخ سرعت زاویه ای در حالت سکون (میانگین نرخ سرعت زاویه ای حسگر ژیروسکوپ در حالت سکون بیانگر بایاس حسگر ژیروسکوپ است). مقایسه شده و دقت آن ارزیابی می شود (متناسب با شکل (۶)).

جدول (۲) نتایج آزمون ب، قدر مطلق خطای تخمین تراز (درجه) در مقادیر مختلف شتاب بدنه خارجی برای الگوریتم پیشنهادی و حسگر 3DM-GX3-25

حسگر	محور x	حسگر	محور y	غلت	
				شتاب	فراز
3DM-GX3-25	۰/۸	۰/۱۵	۲/۲۱	۴/۹۲	۰/۳۴
	۱/۷	۰/۲۲	۵/۱۳	۵/۱۱	۰/۳۷
	۱/۹۳	۰/۲۴	۶/۴	۵/۵۱	۰/۵۳
	۲/۱۱	۰/۲۷	۷/۲۳	۶/۱۲	۰/۶۱
	۲/۶۵	۰/۳۱	۸/۵	۶/۴۸	۰/۶۴
	۴/۱۳	۰/۴۵	۱۲/۵	۷/۸	۰/۶۹
				۱۱/۱۲	۲۲/۳۹



شکل (۶) نتایج آزمون ب، (الف) تخمین بایاس ژیروسکوپ حول محور x، (ب) تخمین بایاس ژیروسکوپ حول محور y.

- Body Motion Tracking," *IEEE Transactions on Robotics*, vol. 22, pp. 1216-1227, 2006.
- [11] G. S. Faber, C.-C. Chang, P. Rizun, and J. T. Dennerlein, "A novel method for assessing the 3-D orientation accuracy of inertial/magnetic sensors," *Journal of biomechanics*, vol. 46, pp. 2745-2751, 2013.
- [12] D. Jurman, M. Jankovec, R. Kamnik, and M. Topič, "Calibration and data fusion solution for the miniature attitude and heading reference system," *Sensors and Actuators A: Physical*, vol. 138, pp. 411-420, 8/26/ 2007.
- [13] P. Doostdar and J. Keighobadi, "Design and implementation of SMO for a nonlinear MIMO AHRS," *Mechanical Systems and Signal Processing*, vol. 32, pp. 94-115, 10// 2012.
- [14] H. Sheng and T. Zhang, "MEMS-based low-cost strap-down AHRS research," *Measurement*, vol. 59, pp. 63-72, 1// 2015.
- [15] Y.-S. Suh, S.-K. Park, H.-J. Kang, and Y.-S. Ro, "Attitude Estimation Adaptively Compensating External Acceleration," *JSME International Journal Series C Mechanical Systems, Machine Elements and Manufacturing*, vol. 49, pp. 172-179, 2006.
- [16] J. K. Lee and E. J. Park, "Minimum-Order Kalman Filter With Vector Selector for Accurate Estimation of Human Body Orientation," *IEEE Transactions on Robotics*, vol. 25, pp. 1196-1201, 2009.
- [17] A.M. Sabatini, "Quaternion-based extended Kalman filter for determining orientation by inertial and magnetic sensing," *IEEE Transactions on Biomedical Engineering*, vol. 53, pp. 1346-1356, 2006.
- [18] H. Rehbinder and X. Hu, "Drift-free attitude estimation for accelerated rigid bodies," *Automatica*, vol. 40, pp. 653-659, 4// 2004.
- [19] W. Chou, B. Fang, L. Ding, X. Ma, and X. Guo, "Two-step optimal filter design for the low-cost attitude and heading reference systems," *IET Science, Measurement & Technology*, vol. 7, pp. 240-248, 2013.
- [20] X. Yun, E. R. Bachmann, and R. B. McGhee, "A Simplified Quaternion-Based Algorithm for Orientation Estimation From Earth Gravity and Magnetic Field Measurements," *IEEE Transactions on Instrumentation and Measurement*, vol. 5, pp. 638-650, 2008.
- [21] H. J. Luinge and P. H. Veltink, "Measuring orientation of human body segments using miniature gyroscopes and accelerometers," *Medical and Biological Engineering and Computing*, vol. 43, pp. 273-282, 2005.
- [22] T. I. Fossen, *Handbook of marine craft hydrodynamics and motion control*: John Wiley & Sons, 2011.
- [23] D. Titterton and J. L. Weston, *Strapdown inertial navigation technology* vol. 17: IET, 2004.
- [24] D. Simon, *Optimal state estimation: Kalman, H infinity, and nonlinear approaches*: John Wiley & Sons, 2006.

$$\mathbf{Z}_k^b = \left( \mathbf{I}_3 - \Delta t [\mathbf{y}_{G,k-1} \times] + \Delta t [\mathbf{b}_{\omega,k-1} \times] \right) \mathbf{Z}_{k-1}^b \quad (33)$$

با بسط سمت راست رابطه (۳۳) و استفاده از رابطه  $\Delta t [\mathbf{n}_{G,k-1} \times] \mathbf{Z}_{k-1}^b = \Delta t [-\mathbf{Z}_{k-1}^b \times] \mathbf{n}_{G,k-1}$  (۱۰) برابر می شود.

## مراجع

- [1] K. Li, L. Chang, and B. Hu, "Unscented Attitude Estimator Based on Dual Attitude Representations," *IEEE Transactions on Instrumentation and Measurement*, vol. 64, pp. 3564-3576, 2015.
- [2] H. G. d. Marina, F. J. Pereda, J. M. Giron-Sierra, and F. Espinosa, "UAV Attitude Estimation Using Unscented Kalman Filter and TRIAD," *IEEE Transactions on Industrial Electronics*, vol. 59, pp. 4465-4474, 2012.
- [3] L. Paull, S. Saeedi, M. Seto, and H. Li, "AUV navigation and localization: A review," *IEEE Journal of Oceanic Engineering*, vol. 39, pp. 131-149, 2014.
- [4] G. To and M. R. Mahfouz, "Quaternionic Attitude Estimation for Robotic and Human Motion Tracking Using Sequential Monte Carlo Methods With von Mises-Fisher and Nonuniform Densities Simulations," *IEEE Transactions on Biomedical Engineering*, vol. 60, pp. 3046-3059, 2013.
- [5] J. Vaganay, M. J. Aldon, and A. Fournier, "Mobile robot attitude estimation by fusion of inertial data," in *Robotics and Automation, 1993. Proceedings., 1993 IEEE International Conference on*, 1993, pp. 277-282 vol.1.
- [6] N. Barbour and G. Schmidt, "Inertial sensor technology trends," *IEEE Sensors Journal*, vol. 1, pp. 332-339, 2001.
- [7] D. Roetenberg, H. J. Luinge, C. T. M. Baten, and P. H. Veltink, "Compensation of magnetic disturbances improves inertial and magnetic sensing of human body segment orientation," *IEEE Transactions on Neural Systems and Rehabilitation Engineering*, vol. 13, pp. 395-405, 2005.
- [8] Y. S. Suh, "Orientation Estimation Using a Quaternion-Based Indirect Kalman Filter With Adaptive Estimation of External Acceleration," *IEEE Transactions on Instrumentation and Measurement*, vol. 59, pp. 3296-3305, 2010.
- [9] T. Harada, H. Uchino, T. Mori, and T. Sato, "Portable absolute orientation estimation device with wireless network under accelerated situation," in *Robotics and Automation, 2004. Proceedings. ICRA '04. 2004 IEEE International Conference on*, 2004, pp. 1412-1417 Vol.2.
- [10] X. Yun and E. R. Bachmann, "Design, Implementation, and Experimental Results of a Quaternion-Based Kalman Filter for Human

- [25] O. S. Salychev, *Applied inertial navigation : problems and solutions.* Moscow, Russia: BMSTU Press, 2004.
- [26] R. E. Kalman, "A new approach to linear filtering and prediction problems," *Journal of basic Engineering*, vol. 82, pp. 35-45, 1960.
- [27] R. Bucy, "Nonlinear filtering theory," *IEEE Transactions on Automatic Control*, vol. 10, pp. 198-198, 1965.
- [28] M. T. Sabet, A. R. Fathi, and H. R. Mohammadi Daniali, "Optimal design of the Own Ship maneuver in the bearing-only target motion analysis problem using a heuristically supervised Extended Kalman Filter," *Ocean Engineering*, vol. 123, pp. 146-153, 9/1/ 2016.